

Available Potential for Managing Investment of Hawr Al-Shuwaija Water Using Geomatics Applications - GEE Engine Platform

Professor Doctor Muhammad Salman Al-Jubouri

University of Baghdad / College of Arts

E-mail: tjibori2@gmail.com

Assistant Professor Doctor Ahmed Saeed Al-Ghariri

University of Qadisiyah / College of Arts

E-mail: Ahmed.yasien@qu.edu.iq

Lecturer Doctor Ann Rujab Ahmed Al-Sammari

University of Baghdad / College of Arts

E-mail: anastassy@coart.Uobaghdad.edu.iq

Assistant Professor Doctor Ayad Abdul Ali Al-Shammari

University of Wasit / College of Basic Education in Al-Aziziya

E-mail: ayads@uowasit.edu.iq

Assistant Lecturer Rasool Al-Kaabi

Ministry of Education / Maysan Province Education Directorate

E-mail: rasool.raheem10@gmail.com

Assistant Lecturer Imad Sakban Farhan

University of Baghdad / College of Arts

E-mail: emad_gr2000@yahoo.com

Abstract:

Climate and political changes compel us to seek the best available technical means to develop our water resources and move forward in achieving optimal management of this resource, which has become increasingly scarce. Hence, the process of harvesting water during the rainy season at the appropriate time and place, according to all historical data and geographical analyses using geomatics applications represented here by the GEE engine platform, has made the lowland of Hawr Al-Shuwaija - east of Wasit province - represent the ideal target for this study.

The study concluded using geomatics information applications that Hawr Al-Shuwaija depression represents an important and very suitable site for water harvesting operations, and thus the possibility of transforming it from a seasonal marsh appearance to a permanent water surface in the region through the construction of appropriate dams and barriers. This will result in a large storage capacity reaching more than one billion cubic meters. Consequently, this process will be a significant addition to Iraqi water resources to confront the dangers and disasters of drought and severe desertification in the region due to climate change and its severity on one hand, and what Iraq's arbitrary policies impose from neighboring countries on the other hand.

Therefore, implementing this project will enable real development of water resources and consequently agricultural, tourist, and environmental resources in this important region of Iraq. To achieve the greatest benefit, it is essential to take future measures to limit and control evaporation, especially during Iraq's scorching summer season, which appropriate solutions and methods have been proposed for in this study.

Keywords: Hawr Al-Shuwaija, Hawr Al-Shabija, water harvesting, infiltrated river channels, GEE engine platform, geomatics applications.

الإسقاطات المتاحة لإدارة إستثمار مياه هور الشويجة باستخدام تطبيقات الجيوماتكس - منصة محرك GEE.

الاستاذ المساعد الدكتور أ.د سعيد الغريبي
جامعة القادسية / كلية الآداب
Email: Ahmed.yasien@qu.edu.iq

الاستاذ الدكتور محمد سلمان الجبوري
جامعة بغداد / كلية الآداب
E-mail: tjibori2@gmail.com

الاستاذ المساعد الدكتور أ.د عبد علي الشمري
جامعة واسط / كلية التربية الأساسية في العزيزية
E-mail: ayads@uowasit.edu.iq

المدرس الدكتور آن رجب احمد السامرائي
جامعة بغداد / كلية الآداب
E-mail: anastassya@coart.Uobaghddad.edu.iq

المدرس المساعد عماد صكبان فرحان
جامعة بغداد / كلية الآداب
E-mail: emad_gr2000@yahoo.com

المدرس المساعد رسول الكعبي
وزارة التربية / مديرية تربية محافظة ميسان
E-mail: rasool.raheem10@gmail.com

الملخص:

نُحتم علينا التغيرات المناخية والسياسية البحث عن أفضل الوسائل التقنية المتاحة حالياً، لتنمية ثرواتنا المائية والمضي قدماً في تحقيق أفضل إدارة لهذا المورد الذي أصبح شحيحاً أكثر فأكثر يوماً بعد آخر. من هنا فإن عملية حصاد المياه اثناء موسم الامطار في الزمان والمكان المناسب، وفقاً لكل البيانات التاريخية ووفقاً للتحليلات الجغرافية باستخدام تطبيقات الجيوماتكس المتمثلة هنا بمنصة محرك GEE، قد جعل من منخفض هور الشويجة - شرق محافظة واسط يمثل الهدف المثالي لهذه الدراسة.

لقد توصلت الدراسة باستخدام تطبيقات المعلوماتية الارضية (Geomatics)، بأن منخفض هور الشويجة يمثل موقعاً مهماً وملائماً جداً لعمليات حصاد المياه، وبالتالي امكان تحويله من هور موسمي الظهور، إلى مسطح مائي دائمي في المنطقة من خلال إنشاء النواطم والسداد المناسبة، مما سيتيح عنه إمكانية خزن كبيرة ستصل إلى أكثر من مليار متر مكعب. وبالتالي ستكون هذه العملية إضافة كبيرة للموارد المائية العراقية لمواجهة اخطار وكوارث الجفاف والتصرّح الشديد في المنطقة جراء التغير المناخي وخطورته من جهة، وما تملّيه على العراق السياسات التعسفية لدول الجوار من جهة ثانية.

لذا، فسيتيح العمل بهذا المشروع تتميم حقيقة الموارد المائية وبالتالي الزراعية والسياحية والبيئية لهذه المنطقة المهمة من العراق. ولأجل تحقيق الفائدة الكبرى من ذلك، فلا بد من القيام بإجراءات مستقبلية للحد من التبخر وقمعه لاسيما اثناء فصل الصيف اللافت في العراق، وهو ما تم إقتراحه من حلول واساليب مناسبة في هذه الدراسة.

الكلمات المفتاحية : هور الشويجة، هور الشبيحة، حصاد المياه، المجاري النهرية المندรسة، منصة محرك GEE، تطبيقات الجيوماتكس.

المقدمة:

يُعد الرصد المستمر لإتجاهات إتساع أو تقلص مصادر الموارد المائية، أمرًا غاية في الأهمية لأي مشروع يهدف لتنمية وإدارة الموارد المائية لأي بلد. ذلك، لأننا سنحتاج إلى بيانات يعتمد عليها عند قيامنا بالمشروع أو إجراء أي تعديلات يمكنها أن تساهم في توفير المياه، من حيث تحديد نوعيتها وكيفيتها، توفرها والإلمام بالعمليات الوظيفية والفيزيائية للنظام البيئي لأي منطقة. لذلك، فمن المهم أن يكون لدينا طريقة دقيقة لرسم خرائط سطح الأرض ومستجمعات الماء فيها، كذلك، يجب أن يُتاح لنا إمكانية التعامل مع الكم الهائل من البيانات الرقمية التي يمكن توظيفها في هذا المجال، لإدارة وحصاد المياه والعمل على تمييذها بصورة صحيحة وعلى نطاق واسع (Cann et al., 2013; Dang et al., 2016; Al- & Al- Aljashamy, 2022; Dang, Nguyen & Pham, Ann 2019; Rajab, 2017 Al-Gurairy & Al-Zubaidi, 2023 Gurairy; Sdakhan, A., 2023) . وبذلك فستتمكننا هذه التطبيقات الجيوماتيكية من إمكانية مراقبة المسطحات المائية المختلفة في مناطق شتى وبمساحات مختلفة على مديات زمنية مختلفة (طويلة أو قصيرة)، وهو الامر الذي نظمح اليه في دراستنا هذه. ولا يخفى فان هنالك دافع كبير يدفع الباحثين في كل ارجاء العالم للخوض في مواضع المياه وتحقيق الإدارة الصحيحة لها في ظل خطورة التغير المناخي العالمي (Abbas, 2023)، وما يُلقيه بضلاله من آثار خطيرة على الإنسان وبئته التي يحيا فيها. وبالتالي، فيمكن أن تكون هذه التقنيات بمثابة مورد أساسى لصناعي السياسات والقرارات على المستويات المحلية والإقليمية والوطنية.

لذلك، تتيح لنا تطبيقات الجيوماتكس المختلفة، ومنها منصة محرك GEE إمكانية تتبع اي ظاهرة ارضية، وبالتالي عملية رصدها وتتبع تطورها لفترات زمنية طويلة، لاسيما وان هذه التطبيقات تعتمد على نقطتين رئيسيتين: اولاًهما: انها تعتمد في تحليلاتها وبالتالي نتائجها على بيانات الاستشعار عن بعد. ولا يخفى، فإن الاستشعار عن بعد يوفر تقنية مكانية وزمانية قادرة على تتبع السجل التاريخي لظاهرة واحدة او عدة ظواهر ارضية مختلفة في آنٍ واحد. لذلك، فمن المفيد هنا إجراء عمليات مراقبة البحيرات والاهوار لفترات زمنية طويلة، للحصول على افضل وادق تصوّر ممكّن عنها بهذه الوسيلة، بالإضافة إلى إمكانية تعزيز النتائج بالبيانات التاريخية المتاحة ايضاً (Nguyen, Pham & Dang, 2019; Al-Gurairy & Al-Shammary, 2023; Gurairy & Al-Shammary, 2023; Al-Gurairy, 2023) .

أما ثانيةهما: فتتمثل بان منصة محرك GEE قد سمحت لعلماء الارض والموارد المائية، بالتغلب على العديد من المشكلات والعوائق التي تتطلبها عمليات تحليل الكم الهائل من بيانات الاستشعار عن بعد. إذ تعمد هذه المنصة على معالجة المهام المختلفة بعد قيام الباحث بتحديد منطقة دراسته ونوع التحليل الذي يرغب به، كذلك، فإن منصة محرك GEE تستخدم عملية الاتصال بموقع البيانات وتتنزيلها

من موفري الخدمات المختلفين، ومعالجة النماذج وتطبيقها، وتفسير النتائج، وتقرار العملية لتوفير البيانات الحالية أو المحدثة (2015; Atay & Hansen, 2023).

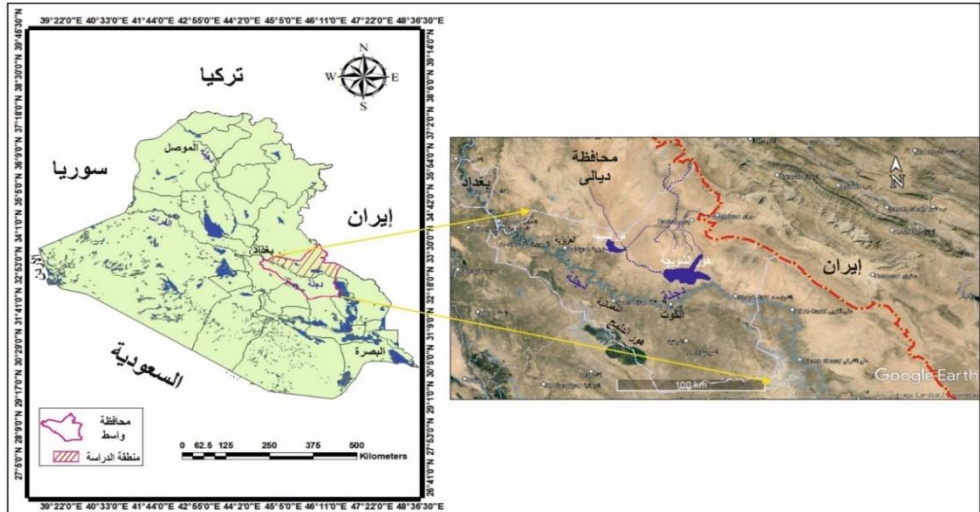
لذلك، فإن منصة **Google Earth Engine** والتي هي نظام أساسى قائم على السحابة، يمكن استخدامها لتنفيذ تحليل جغرافي مكاني واسع النطاق وطويل الأمد (Gorelick et al., 2017). إذ تستخدم هذه المنصة ذات الملكية العامة القدرات الحسابية لخوادم Google، لذا فهي تتيح لنا تطوير قدراتنا في استكشاف الأرض، لاسيما مع إعتمادها على مصادر بيانات متعددة مثل بيانات الأقمار الصناعية لـ **Sentinel-2** و **Landsat 8** وغيرها. بذلك، فإن هذه المنصة تساهم بقوة في تقليل المشكلات والتحديات التي غالباً ما تواجه عمليات التحليلات الجغرافية المكانية الكبيرة ودراسات الاستشعار عن بعد للحصول على البيانات أو تنظيمها أو حتى مشاركتها (Peng, 2005; Mohammed, A. P., 2020; Liu et al., 2023; Fang et al., 2023; Xu et al., 2024).

ان الاهداف الرئيسية لهذه الدراسة يمكن ان تدرج حيالاتها ضمن مجموعة من التساؤلات المهمة المتمثلة بـ : في ظل التصحر المتمامي الذي تشهده مناطق شرق محافظة واسط لاسيما مع بروز تأثيرات التغير المناخي على العراق كأولى الدول التي لمست آثاره السلبية، هل يمكننا الحد من تأثيرات التغير المناخي وبالتالي الحد من التصحر في هذا الجزء من المحافظة بإستخدام التطبيقات الجيوماتيكية الحديثة في إدارة المياه وتوجيهه مشاريع إستثمار المياه بالشكل الصحيح ؟ كذلك، هل يمكن لنتائج تحليل بيانات الاستشعار عن بعد وتعزيزها مع بيانات الخرائط القديمة، بان تحت الحكومة لاتتخاذ القرارات الصحيحة في معالجة المشاكل البيئية ومشاكل التغير المناخي الخطيرة على العراق بصفة خاصة؟ وهل سنتمكن من خلال نتائج هذه التطبيقات مع بيانات المصادر التاريخية من إقتراح المكان الانسب لإنشاء قناطر (نواظم مائية) تعمل على حجز وتنظيم تدفق المياه بين منخفض هور الشوبيحة ونهر دجلة في مواسم الفيضان او الصيف؟ وذلك لتحقيق العديد من الفوائد التي ستعود بالنفع على المحافظة وسكانها، ومن ثم على البلد بصفة عامة.

منطقة الدراسة – Study Area

تم التركيز على شرق محافظة واسط ، ضمن المنطقة الممتدة بين الضفة اليسرى لنهر دجلة وحتى الحدود الدولية مع إيران شرقاً لتكون الحيز الرئيسى لهدف الدراسة ومنطقتها البحثية، لاسيما وان منخفض هور الشوبيحة (الشوبيحة) وإلى شماله امتداد الأصغر الذي يطلق عليه هور الشبيحة (هور الشبيحة) اللذان يقعان ضمنها، الشكل (1)، ومن الممكن ان تمتد شمالاً لتشمل شريطاً ضيقاً يمتد ضمن الحدود

الإدارية لمحافظة ديالي. أما الحدود الزمانية للدراسة، فإنها تمتد من أولول من العام 1917 ولغاية عام 2024.



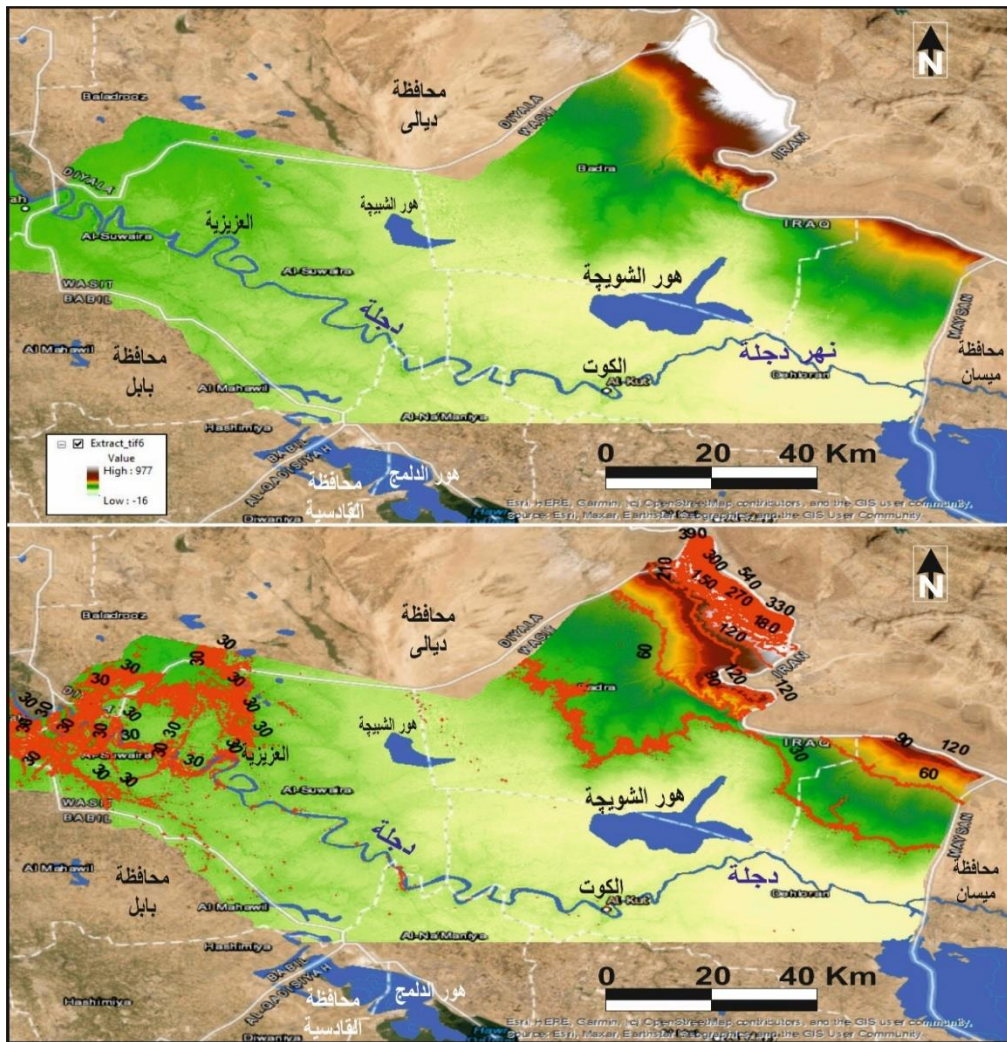
الشكل (1)

خارطة العراق الإدارية والمرئية الفضائية موضحاً عليها منطقة الدراسة

أنجزت الخارطة إعتماداً على البيانات الرقمية الخاصة بالعراق ومحافظة واسط (Shapefile) ومعالجتها في بيئة تطبيق ArcGIS، فيما تم إعتماد Google Earth لمراجعة لاندستات للمنطقة تبلغ مساحة المنطقة نحو أكثر من (11245) كم²، تقع معظمها ضمن الحدود الإدارية لمحافظة واسط، فيما يقع جزء صغير منها ضمن محافظة ديالي.

الخصائص الطبيعية – Natural characteristics

تقع المنطقة معظمها ضمن اراضي سهلية منبسطة يتراوح ارتفاعاتها بين 19 – 30 م فوق مستوى سطح البحر، فيما يشغل منخفض هور الشويبة وامتداداته فيها المناطق الاكثر إنخفاضاً والتي تتراوح بين 8 – 15 م فوق مستوى سطح البحر ضمن جزئه الرئيس الواقع إلى جنوب – شرق مدينة الكوت، بينما تقع الاجزاء الشمالية منه عند 16 – 19 م. يُذكر ان الاجزاء الشرقية من المنطقة وعند الحدود الدولية مع إيران تبلغ ارتفاعاتها نحو اكثر من 450 م فوق مستوى سطح البحر، الشكل (2). وبذلك، تعد هذه المنطقة المصدر الذي تحدُّر منه المياه ولا يمكن ان تعود باتجاهه.



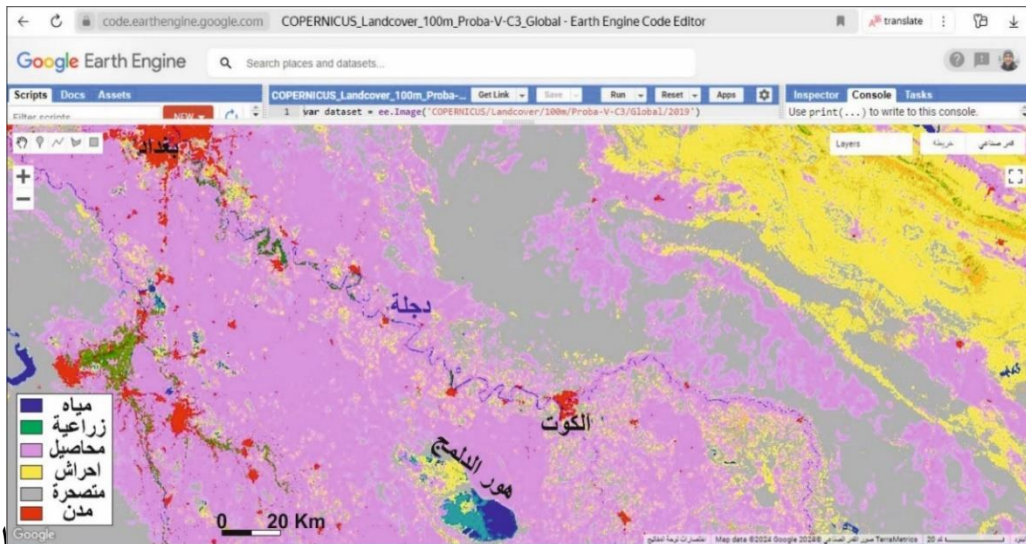
الشكل (2) خارطة طبوغرافية المنطقه بتحليل البيانات الرقمية ضمن بيئه برنامج (Arc GIS)

تحليل البيانات باستخدام منصة محرك Google Earth (GEE)

ترتبط هذه العملية ببساطة شديدة بالهدف من هذه الدراسة، وبالتالي ما الذي يريد الباحث من تحليل جغرافي معين ضمن بيئه هذه المنصة. في حالتنا الدراسية هذه كانت جميع الشيفرات الضرورية للحصول على انماط مختلفة من تحليل البيانات الرقمية المختلفة متاحةً في الموقع الرئيس للمنصة، وقد تضمنت هذه المرحلة المرور بعدة عمليات من التحليل الجغرافي المختلفة داخل بيئه المنصة، كان ابرزها :

١.٤. تحديد المناطق المتصرحة شرق المحافظة

من خلال إعتماد تفسير وتحليل بيانات الأطوال الموجية للمرئيات الفضائية المختلفة ضمن بيئة منصة GEE، إتضح بان معظم مساحات الاراضي في شرق المحافظة تعاني من تصرح متوسط إلى شديد ناتج عن اسبابٍ شتى ، أبرزها سوء إدارة الموارد الطبيعية لاسيمما المياه على وجه الخصوص، بالإضافة إلى التأثيرات السلبية الكبيرة لتغير المناخ وتبنته على العراق وخاصة، وعلى العالم عموماً، الشكل (3). ولا يخفى ما لهذا الموضوع من خطورة كبيرة على البيئة الطبيعية والجوانب الإقتصادية للمجتمعات البشرية، إذ تشير تقديرات الامم المتحدة إلى أن أكثر من مليار شخص على مستوى العالم يتأثرون سلبياً بتدور كفاءة الاراضي وبالتالي تصرحها على مستوى العالم ([United Nations](#)، 2015).

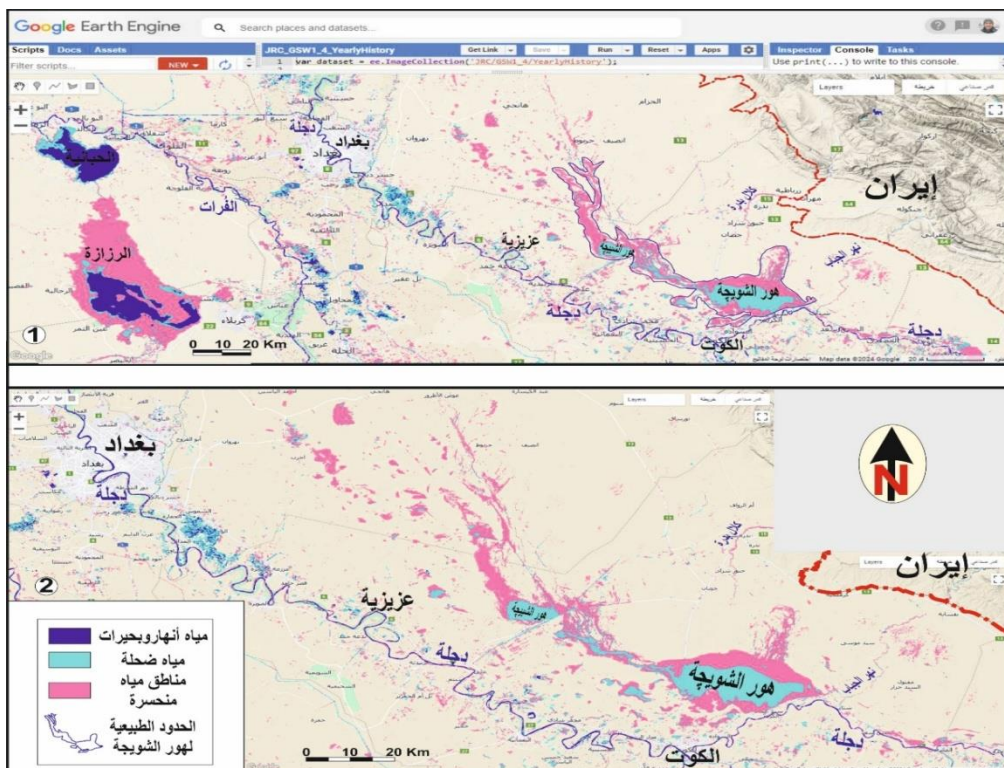


الشكل (3) خارطة توزيع الغطاء النباتي المشتقة من تحليل بيانات مرئيات 2 – Sentinel 2 بدقة 100 متر (CGLS-2015 – 2019) ضمن بيئة منصة محرك GEE (Buchhorn et al., 2020) [Site]

الشكل (3) يكشف لنا حالة التصرح الشديدة التي تعانيها الاجزاء الشرقيه من محافظة واسط بالخصوص، حتى إنها تظهر بنفس الدرجة اللونية لمناطق الصحراء الجنوبية والغربية من العراق. وهو ما يعكس الآثار السلبية للنشاطات البشرية السلبية من جهة، وحجم التأثير السلبي والخطير للتغير المناخي على المنطقة من جهةٍ ثانية. الامر الذي ادى إلى ظهور منخفض هور الشويخة كقطعة ارض جافة مشابهة للاراضي الصحراوية غرب العراق، وهذا الواقع يعكس ضعفاً وسوء إدارة كبير لملف الموارد المائية في منطقة الدراسة هذه .

2.4. تحديد تاريخ تصنیف المياه السنوي - JRC Yearly Water Classification v1.4, History

تضم عملية التحليل هذه داخل منصة محرك GEE مجموعة البيانات والتوزيع الزمني للمياه السطحية من عام 1984 إلى عام 2021، كذلك توفر إحصائيات حول مدى وتغير تلك المسطحات المائية في كل بقاع الأرض. إذ تم إنشاء هذه البيانات باستخدام 4,716,475 مرئية فضائية من Landsat 5 و 7 و 8، تم الحصول عليها لمدة بين 16 آذار 1984 و 31 كانون الأول 2021. وقد تم تصنیف كل بکسل بشكل فردي إلى مائي/غير مائي باستخدام نظام متخصص، وتم جمع النتائج في سجل شهري لـ الفترة الزمنية بأكملها على مرتبتين زمنيتين (1984-1999، 2000-2021) للكشف عن التغيير (Site of Earth Engine Data Catalog) (Pekel et al., 2016). وبالتالي فإنها ستمكننا من عرض ومعرفة حالة المسطحات المائية للمنطقة خلال مدة مراقبة طويلة، الشكل (4).



الشكل (4) خارطة توزيع ومساحات المسطحات المائية في المنطقة من تحليل بيانات المرئيات الفضائية لمدة 1984 ولغاية 2021 ضمن بيئة منصة محرك GEE

من الشكل (4)، يمكن ملاحظة ان الحجم الحقيقي الذي يمكن ان يبلغه هور الشويبة باقصى اتساع له يمكن ان يصل إلى اكثر من 130 كم طولاً (من الجنوب الى الشمال)، فيما يمكن ان يبلغ اقصى اتساع له نحو (45 - 50) كم وفقاً للخارطة الموضحة في الشكل اعلاه. الامر الذي يعكس اهمية هذا المسطح المائي الذي تعرض للجفاف التام اكثر من مرة خلال السنوات القليلة الماضية.

3.4. خارطة المنطقة اعتماداً على قاعدة بيانات الفيضانات العالمية، الإصدار الأول (2000-2000 - Global Flood Database v1 (2000-2018) - (2018

بالإعتماد على التحليل الجغرافي لقاعدة بيانات الفيضانات العالمية التي حدثت بين عامي 2000 و2018 في بيئة منصة محرك GEE، يمكن الحصول على خارطة مهمة ودقيقة متعلقة بمدى توزيع وانتشار المياه ضمن هذه المسطحات المائية خلال اوقات الفيضانات.

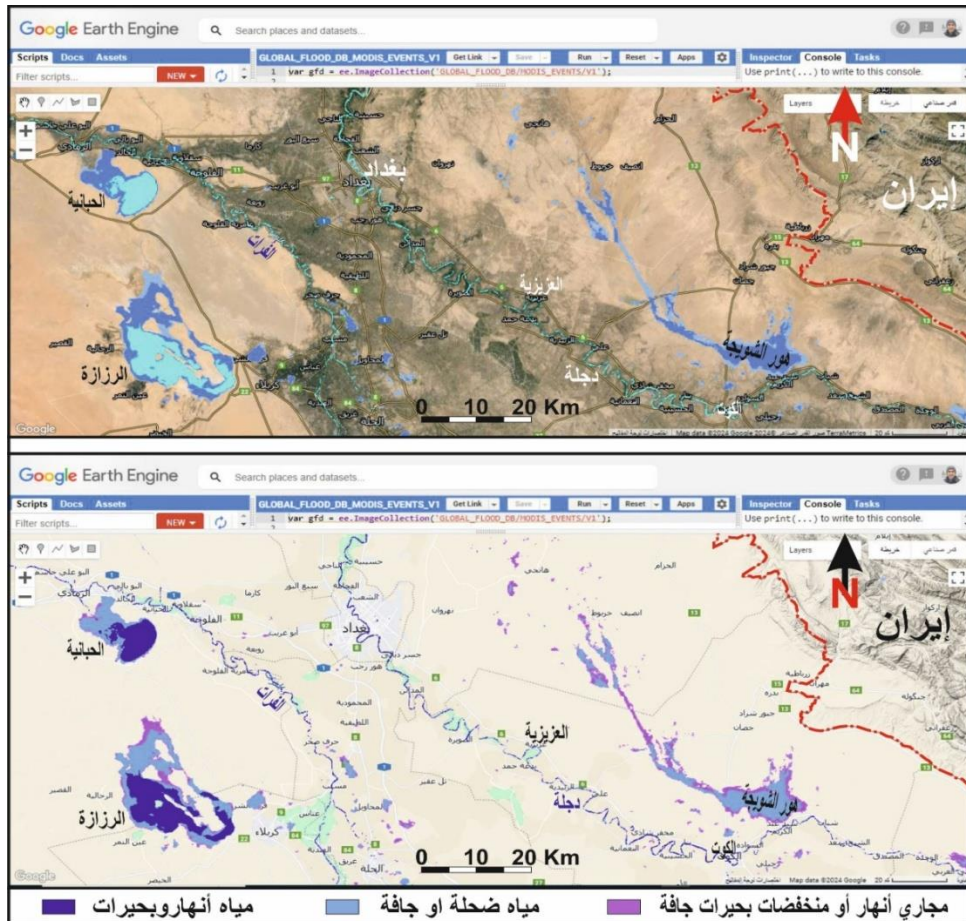
إن المنصة تعتمد في ذلك على إجراء التحليلات المكانية (الجيوماتيكية) من خلال جمع أحداث الفيضانات من مرصد دارتموث للفيضانات. حيث استخدمت لجمع مركبات MODIS و الأحداث الفيضانية المختارة البالغ عددها 913 (وهي تلك التي تم تعينها بنجاح بعد ان اجتازت مراقبة الجودة باعتبارها تحتوي على عمر كبير يتجاوز المياه الدائمة)، وهو ما تم باستخدام 12719 مركبة فضائية من مستشعرات Aqua و MODIS Terra. فقد تم تصنيف كل بكسل على أنه مائي أو غير مائي بدقة 250 متراً خلال النطاق الزمني الكامل لكل حدث فيضان وتم إنشاء منتجات البيانات اللاحقة بما في ذلك الحد الأقصى لمدى الفيضان (نطاق الفيضان) ومدة الغمر بالأيام.

تشمل تصنيفات مناطق المياه وتلك غير المائية (اليابسة) خلال احداث الفيضان ومقارنتها مع المياه الدائمة (حيث تقوم المنصة هنا بإعادة تشكيل مجموعة بيانات المياه السطحية العالمية JRC بطول 30 متراً والتي تمثل المياه الدائمة بدقة 250 متراً)، والتي يمكن إخفاوها لعزل مياه الفيضانات باستخدام نطاق "jrc_perm_water". فيما تمت إضافة نطاقات جودة بيانات إضافية تمثل الظروف السحابية أثناء حدوث الفيضان (على سبيل المثال، "clear_views" الذي يمثل عدد الأيام الصافية التي تمت ملاحظة الفيضان فيها بين تاريخي البداية والانتهاء و "clear_perc" الذي يمثل النسبة المئوية لمراقبة اليوم الصافي للحدث الإجمالي المدة بالأيام (Tellman et al., 2021) (Site of Earth Engine Data Catalog)، كما موضح في الشكل (5).

من الممكن ملاحظة بان حجم هور الشويبة عند الفيضانات الموسمية يمكن ان يبلغ مساحةً كبيرة قد تضاهي مساحات المسطحات المائية الكبيرة في العراق، مثل بحيرتي الرزازة والحبانية. كذلك من الشكل (5)، يمكن تحديد الجهات الاكثر عرضةً للجفاف الشديد وتبخر المياه منها ضمن منخفض هور الشويبة،

الإسقاطات المتأصلة لإدارة إستثمار مياه هور الشويبة باستخدام تطبيقات الجيوماتكس - منصة محرك GEE

وتلك التي تحفظ بالرطوبة لاطول فترة ممكناً، ومنها يظهر ان منخفض هور الشويبة يفقد جميع مياهه التي يكتسبها اثناء موسم الفيضانات بسبب التبخر الشديد الناتج عن ارتفاع معدلات الحرارة صيفاً وازدياد هذا الارتفاع كنتيجة مباشرة لضغط التغير المناخي العالمي من جهة، و كنتيجة لسوء إدارة الموارد المائية في المنطقة من جهة ثانية .



الشكل (5) خارطة المنطقة توضح حجم وامتداد هور الشويبة خلال الفيضانات التي حدثت للمدة (2000 - 2018)، إعتماداً على قاعدة بيانات الفيضانات العالمية

4.4. الكشف عن خارطة المنطقة باستخدام طبقات رسم خرائط المياه السطحية العالمية من v1.2, JRC Global Surface Water Mapping Layers – 1.2

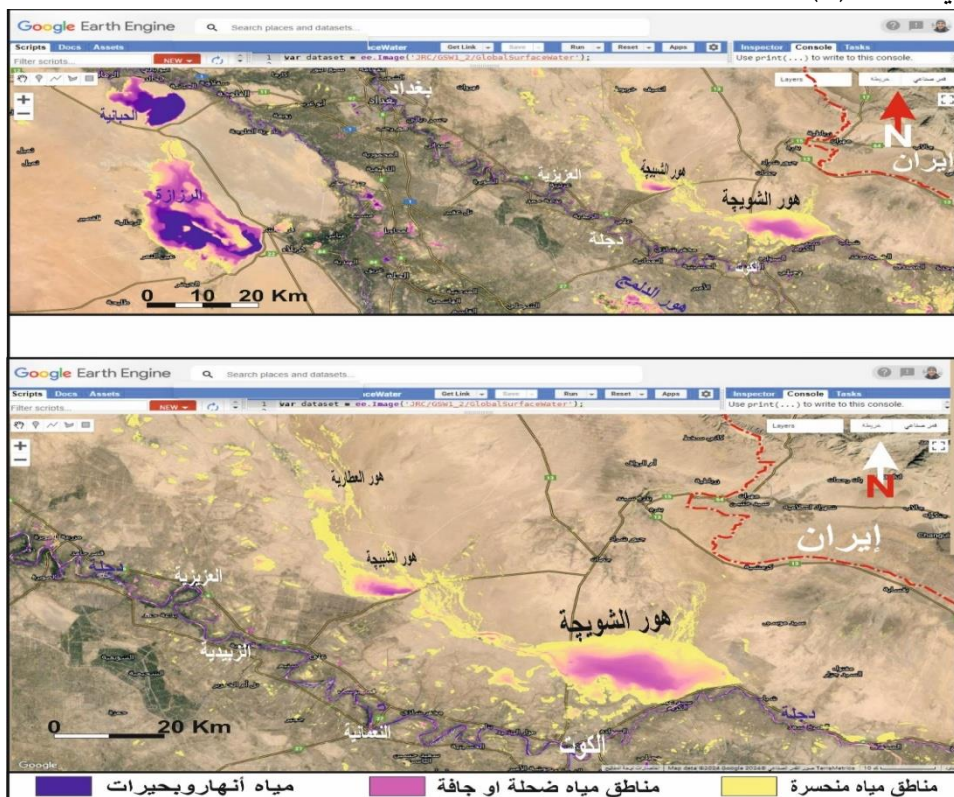
يمكن أيضاً ضمن بيئة منصة محرك GEE، الحصول على خرائط عالية الدقة عن توزيع ومساحات المسطحات المائية الدائمة او تلك المؤقتة منها كالأهوار مثلاً. إذ تعتمد المنصة في إجراءات تحليلها الجغرافي هذا على مجموعة من البيانات وخرائط للموقع والتوزيع الزمني للمياه السطحية من عام 1984

الإسكان المتأحة لإدارة إستثمار مياه هور الشويبة باستخدام تطبيقات الجيوماتكس - منصة محرك GEE

وحتى عام 2019 م، فضلاً عن توفر إحصائيات حول مدى وتغير تلك المسطحات المائية لهذه الفترة الزمنية.

لقد تم إنشاء هذه البيانات باستخدام 4,185,439 مركبة فضائية من 5 Landsat و 7 و 8، والتي تم الحصول عليها للفترة ما بين 16 آذار 1984 و 31 كانون الأول 2019. وقد تم تصنيف كل بكسل على حدة إلى مائي/غير مائي باستخدام نظام متخصص، فيما تم جمع النتائج في سجل شهري لـ الفترة الزمنية بأكملها على فترتين اثنتين هما: (ال الأولى : 1984-1999، أما الثانية: 2000-2019) للكشف عن التغير الحاصل في امتداد ومساحات المسطحات المائية عالمياً. عموماً، يتكون منتج طبقات التعين من صورة واحدة تحتوي على 7 نطاقات، وهو يرسم جوانب مختلفة من التوزيع المكاني والزمني للمياه السطحية على مدى السنوات الخمس والثلاثين الماضية، حيث يتم إخفاء المناطق التي لم يتم اكتشاف المياه فيها من قبل (Pekel et al., 2016) (Site of Earth Engine Data Catalog).

موضح في الشكل (6).



الشكل (6) خارطة توزيع طبقات المياه السطحية في المنطقة بتحليل البيانات في GEE

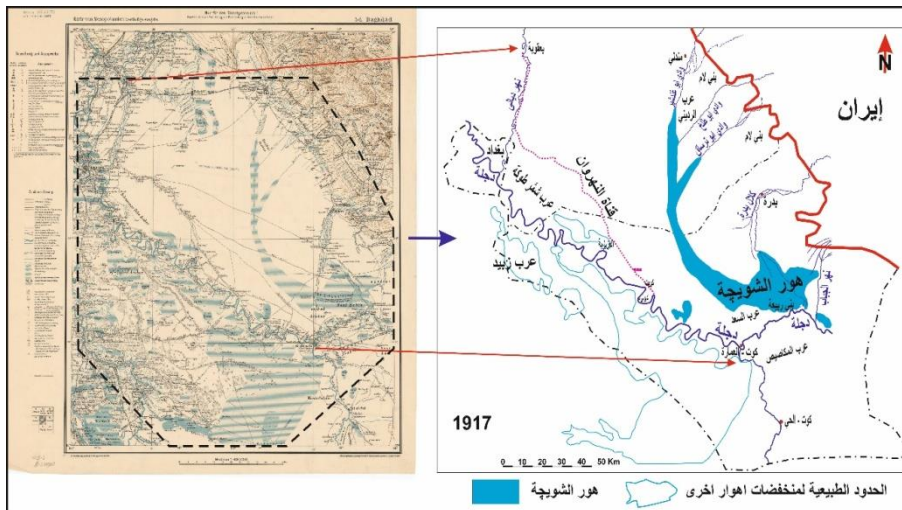
تُظهر هذه الخارطة (الشكل 6)، المساحة التي تنتشر عليها إمتدادات المياه الدائمة وتلك الضحلة أو التي جفَّت منها، بسبب الجفاف الذي يتعرض له العراق جراء التغير المناخي والإستعمالات البشرية غير الصحيحة للموارد المائية القليلة المتبقية في العراق عموماً، وفي منطقة الدراسة على وجه الخصوص (AI, AI-Mahmood, 2024).

إنَّ ما يمكن ملاحظته بوضوح من جميع الأشكال التي تم الحصول عليها من تحليل بيانات المرئيات الفضائية المختلفة ضمن منصة GEE، توضح بما لا يقبل الشك بان حجم ومساحة المسطح المائي الرئيس في المنطقة (هور الشويخة) يُضاهي او يفوق حتى مساحة بحيرة الحبانية، كما إنه اكبر حجماً ومساحةً من هور الدلمج. ان طبوغرافية السطح للمنطقة، فضلاً عن تنوع مصادر تغذيتها بالمياه (كلاً بدلة، كلاً ترساق وحتى مجرى وادي الجباب سابقاً) التي يمكنها أن تغذى هذا الهاور بكميات كبيرة من المياه تُقدر بنحو $2 - 3$ مليار م³ في موسم واحد من مواسم الفيضان، الامر الذي يهيئ الظروف الطبيعية الملائمة ليصبح هور الشويخة كبحيرة خزن دائمة للمياه، إلا إن الظروف المختلفة (الطبيعية أو البشرية) هي التي جعلت هذا الهاور او البحيرة يخسر مياهه بالكامل خلال العقود القليلة الماضية.

4.5. الكشف التأريخي عن مساحة وامتداد هور الشويخة

من خلال تحليل الخرائط القديمة المعتمدة عالمياً، يصبح بامكان الباحثين أيضاً الكشف عن مراحل التطور التاريخي لاي ظاهرة جيومورفولوجية سطحية ومنها الاهوار والبحيرات. وفي دراستنا هذه كان الهدف معرفة حجم وامتداد هور الشويخة في المنطقة منذ بدايات القرن الماضي، وقد إتضح لنا بان هذا المسطح المائي كان يمتد على مساحات واسعة شملت اجزاءً من محافظي واسط و ديارى، كما موضح في الشكل (7).

حيث يظهر هذا المسطح المائي في خرائط العام 1917، بامتداد طولي يصل إلى نحو (150) كم بامتداد طولي (من الجنوب إلى الشمال)، وبإتساع يبلغ أقصاه في الجزء الجنوبي منه، ليصل إلى نحو (40 - 35) كم (Karte von Mesopotamien, 5d. Baghdad, 1917)، الشكل (7). وقد ثبت مسطح هور الشويخة في خارطة العام 1917 على إنه من المسطحات المائية الدائمة في المنطقة وقدراك، أما بالنسبة للوديان المغذية له مثل (كلاً بدلة، نهر ترساق وتفرعاً نهر الجباب وغيرها) المنحدرة من المرتفعات الشرقية للعراق، فهي فصلية الجريان وفقاً لهذه الخرائط القديمة .

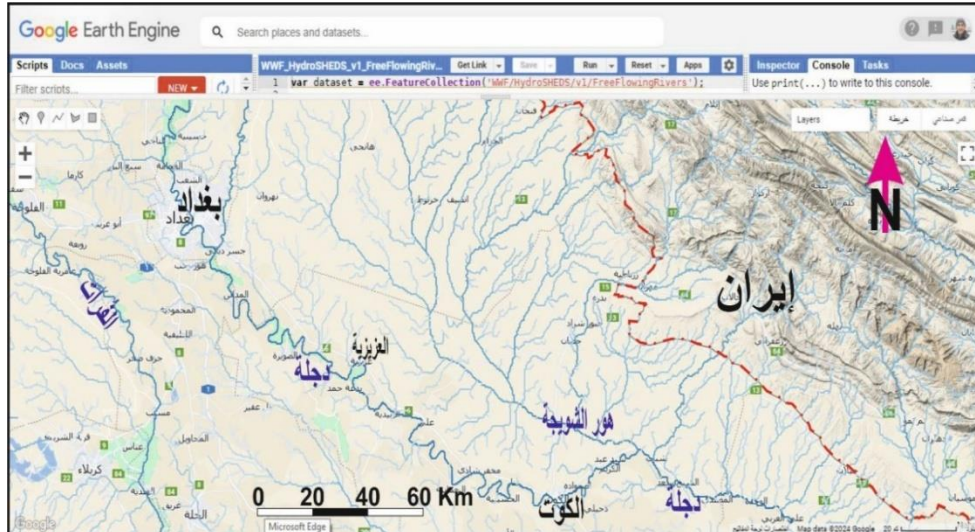


الشكل (7) خارطة لوادي الرافدين - بغداد، ويظهر فيها الإمتداد العام لمسطح هور الشوچة في أيلول من عام 1917 (Karte von Mesopotamien, 5d. Baghdad, 1917) 1917

6.4. الكشف عن المجاري النهرية وتفرعاتها في المنطقة (شبكة الأنهر المتدفقة الحرة - WWF HydroSHEDS Free Flowing Rivers Network v1)

من الممكن الإستعانة بالتحليلات الجغرافية المتأصلة ضمن بيئه هذه المنصة لتحديد المجاري النهرية الرئيسية والتفرعات التي تغذيها، من خلال إستخدام تحليلات **HydroSHEDS** في هذا المجال. حيث يقدم هذا التطبيق مجموعة من البيانات الجغرافية المرجعية (المتجهة والنقطية) بمقاييس مختلفة، بما في ذلك شبكات الأنهر، حدود مستجمعات المياه، اتجاهات الصرف وتراتبات التدفق. فيما يعتمد **HydroSHEDS** على بيانات الارتفاع التي تم الحصول عليها في عام 2000 بواسطة بعثة طبغرافية **radar المكوكية (SRTM)** التابعة لناسا. إذ توفر مجموعة البيانات هذه خطوطاً متعددة تمثل شبكات الأنهر، مشتقة منمجموعات بيانات **HydroSHEDS** الأخرى ومتواقة معها، وتسند هذه البيانات إلى بيانات نقطية ذات دقة 15 ثانية قوسية (حوالي 500 متر عند خط الاستواء). يلاحظ كذلك، إن جودة بيانات **HydroSHEDS** أقل بكثير بالنسبة للمناطق التي تزيد عن 60 درجة شمالاً، نظراً لعدم توفر بيانات الارتفاع **SRTM** الأساسية، وبالتالي كان **DEM** ذو الدقة الأقل (**HYDRO1k** المقدم من **USGS**) هو المستخدم في هذه الحالة. لقد تم تطوير **HydroSHEDS** من قبل برنامج علوم الحفاظ على البيئة التابع للصندوق العالمي للحياة البرية (WWF) بالشراكة مع (هيئة المسح الجيولوجي الأمريكية، المركز الدولي للزراعة الاستوائية، منظمة الحفاظ على الطبيعة ومركز أبحاث النظم البيئية (Site of Earth) (Verdin & Jarvis, 2008; Grill et al., 2019) بجامعة كاسل بألمانيا)

، وقد تم الإستعانة بهذا التحليل للكشف عن المجاري النهرية الحالية والمدرسة منها في المنطقة، كما في الشكل (8).



الشكل (8) الكشف عن المجاري النهرية وشبكات الوديان التي تنتهي في هور الشويبة بـ GEE

7.4. الكشف عن المجاري النهرية المدرسة بتحليل البيانات جيوماتيكيا وتاريخياً بـ GEE

من الممكن ان تكون لمجاري الانهار القديمة (المدرسة) دوراً في ظهور وتطور هذا المسطح المائي (هور الشويبة) خلال القرون الماضية. الامر الذي حدا بهذه الدراسة للاشارة عن هذا الموضوع ومحاولة معرفة العلاقة بين هذه المكونات الطبيعية مجتمعةً.

عموماً، تتيح منصة محرك GEE إمكانية تتبع المجاري النهرية القديمة (المدرسة) من خلال إعتماد التحليل المكاني - الجيوماتيكي المصطلح عليه بـ : **WWF HydroSHEDS Hydrologically** ، والذي يتيح للباحثين إمكانية تتبع المجاري النهرية **3 Arc-Seconds ,Conditioned DEM** ، حتى القديمة منها بـإعتماد على نظام الإرتفاعات الرقمي - **DEM**.

يتيح تحليل **HydroSHEDS** توفير معلومات هيدروغرافية للتطبيقات الإقليمية والعالمية بتنسيق ثابت، فهو يقدم مجموعة من البيانات الجغرافية المرجعية (المتجهة والنقطية) بمقاييس مختلفة، بما في ذلك شبكات الأنهار، حدود مستجمعات المياه، اتجاهات الصرف وتراتبات التدفق، فهو يعتمد على بيانات الارتفاع الرقمي التي تم الحصول عليها في عام 2000 بواسطة بعثة طبوغرافية الرadar المكوكية (SRTM) التابعة لناسا.

يجر بالذكر، إن مجموعة بيانات الارتفاع المكيفة هيدرولوجياً هذه هي نتيجة لعملية تكييف وتصحيح متكررة، كذلك فإن عملية التكييف هذه قد تتسبب بتغيير نموذج **DEM** الأصلي وقد تجعله غير صحيح

لتطبيقات أخرى عند استخدامها في غير استخلاص اتجاهات الصرف. كذلك، فإن مجموعة البيانات هذه تكون بدقة 3 ثانية قوسية، وإن مجموعات البيانات المتوفرة عند 3 ثانية قوسية هي DEM المملوء بالفراغ، و DEM المكيف هيدرولوجيًا، واتجاه الصرف (التدفق) (Lehner, Verdin & Jarvis, 2008)

(Site of Earth Engine Data Catalog)

ختاماً، فقد أشارت معظم الدراسات التي اهتمت بالموارد المائية ضمن هذه المنطقة، بصورة مباشرة أو غير مباشرة، بان وديان المنطقة المعروفة وحتى المياه الجوفية التي تزود هذه الوديان (منها ما ذكرناه اعلاه، وأخرى أصغر حجماً مثل: وادي السبهاني، عين العبد، سرخر، الإختير، الزيادي، الإبتر، بالاك و الكروي) بنسبة معينة من مياهها التي تجري فيها فصل الفيضان الربيعي، بانها تنتهي في منخفض هور الشويبة (Al-Shamaa & Ali, 2012; Dhari & Al Quraishi; 2012; Isaac, 2014; Al-Shammary, 2015; Al-Janaby & Al-Karkhy 2018; Oraibi, & Al-Shammary, 2019; Hanan, 2020; Quraishi, 2019; Hanan, 2020; إثنين هما (مشروع قناة النشامي - الشباب و أم الجزي) اللتان تقعان جنوب الكوت والى الشمال من نهر الجباب) بدون تحقيق اي فائدة حقيقة من هذا المورد العزيز جداً على الإنسان في وفرته، فكيف هو الحال اثناء شحّه؟

إمكانية تحقيق الإدارة والتنمية المائية لمنخفض هور الشويبة

لقد تحول العالم بفضل التطور التقني إلى قرية صغيرة تنتقل فيها الخبرات سريعاً على أجنحة الشبكة العنكبوتية العالمية. كما ان الضرر الذي تسبب به البشر للارض ونظمها قد انعكس تأثيراته السلبية على الكوكب باسره متمثلةً بآثار التغير المناخي الخطيرة على الجميع. عموماً إن ارتفاع معدلات الحرارة في عموم الكوكب مع ظاهرة الجفاف، قد ادت إلى إزدياد معدلات التبخر العامة من المسطحات المائية الداخلية بالخصوص، مما نجم عنه إختفاء الكثير من هذه المسطحات. وليس العراق بمعزل عن ذلك، بل كان في مقدمة الدول التي تأثرت بشكل كبير بهذه التأثيرات المناخية مما نتج عنه إختفاء نحو 60% من بحيرة الرزوة ونحو 50% من الحبانية وإختفاء المياه كلياً تقريباً من بحيرة ساوة (Al-Gurairy & AL-zubaidi, 2023). لذا، فبالإمكان تحقيق التنمية والإدارة المائية الصحيحة التي تخدم الوطن والمواطن من خلال تحقيق التالي:

١.٥. إنشاء نظام او قناطر (سود) لتحويل منخفض الشويبة إلى خزانٍ مائي دائم

تعد دراستنا هذه الاكثر عمقاً في هذا الموضوع، وبطبيعة الحال فلا يمكن لدراستنا الحالية الإستغناء عن النتائج العلمية الرصينة التي توصلت إليها الدراسات السابقة، مثل دراسة (Al-zubaidi, 2023; Al-zubaidi & Abed, 2024) والتي أكدت على إمكانية اتخاذ هور الشويبة خزانًا طبيعيًا، بسعة تخزينية تصل إلى مليار متر مكعب، مع اقتراح ثلاثة مواقع لتخزين المياه على ثلاثة مستويات مطيرية مختلفة. وهو ما نتفق به في دراستنا هذه مع دراسة (Al-zubaidi, 2023) بإمكانية وضرورة إنشاء نظام او قناطر يتم من خلالها الإبقاء على المياه مخزنةً في منخفض هور الشويبة والتحكم بالاتصالات صوب نهر دجلة حسب الحاجة إلى ذلك. ووفقاً للمعطيات السابقة، فإن العمل على جعل منخفض هور الشويبة كخزانٍ مائي دائم يمكنه أن يبلغ بمساحته نحو ضعف مساحة هور الدلمج، وهو ما يمكن مشاهدته من المساحات السابقة التي كان هذا المسطح المائي متداً عليها طوال قرونٍ مضت.

٢.٥. العمل على تقليل التبخر من منخفض هور الشويبة

لتحقيق أقصى فائدة من هذا المنخفض، ولأجل الحد من عملية التبخر الشديد للمسطحات المائية العراقية عموماً، وبحيرة هور الشويبة (بعد تحويلها إلى خزانٍ مائي دائمي) بالخصوص، فإن هذا الامر متاح ويمكن من خلال إستخدام تقنية بسيطة متمثلة بـ إستخدام الأغطية العائمة لقمع التبخر من المسطحات المائية، وهو ما يمكن ان يقلل من التبخر العام في بحيراتنا بنحو ٧٠ - ٨٠ % (Lehmann, Aminzadeh & Or, 2019; Li, et al., 2021) يتبخر منها كمية ١٠٠ مليون م^٣ سنوياً، سينخفض تبخرها لأدنى من ٣٠ مليون م^٣، وبالتالي سيتم توفير كميات هائلة من المياه كانت تذهب سدىً بعمليات التبخر سنوياً، الشكل (٩).



الشكل (9) إستخدام الكرات والأغطية البلاستيكية العائمة لتقليل التبخر من البحيرات

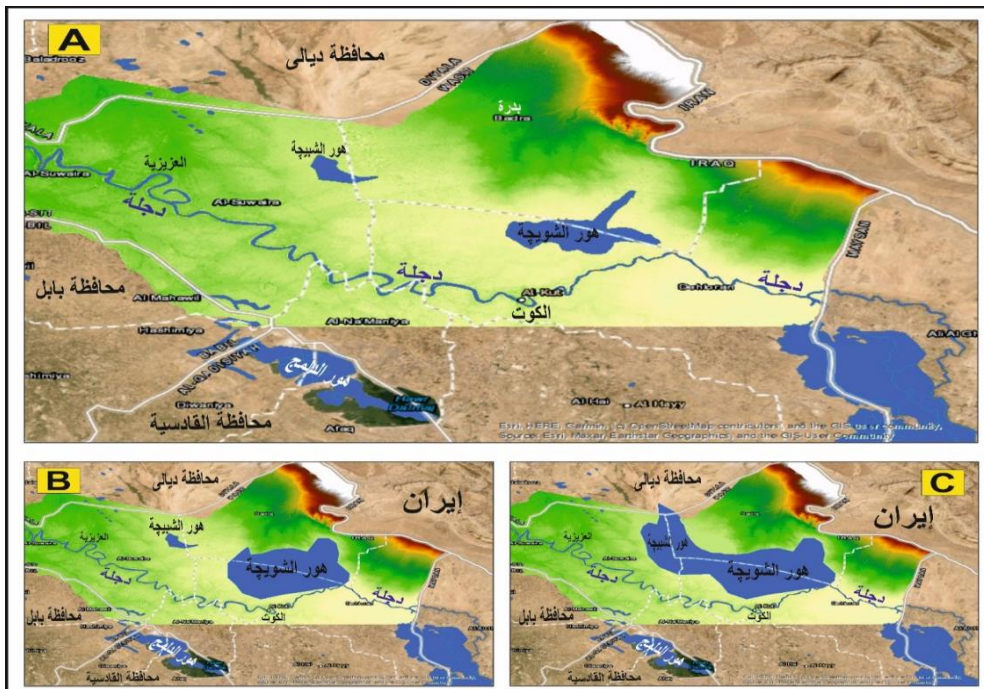
حيث إن: (1) الكرة العائمة البلاستيكية المختبرية - PVC floating ball ؛ الألواح العائمة المصنوعة من مادة PVC الميدانية والكرة العائمة - (Li, et al., 2021) field PVC floating (plates and floating ball) ; (2) مثال على الأغطية العائمة على نطاق الخزانات لقمع وتقليل التبخر، إذ قامت مدينة لوس أنجلوس بنشر 96 مليون كرة تظليل بلاستيكية (قطرها 100 ملم) في عام 2015 في خزانات مياه الشرب المختلفة، مما أدى إلى تقليل التبخر بنسبة 85-90% مقارنة بالسطح المكشوفة (Lehmann, Aminzadeh & Or, 2019) ; (3) إستخدام الخلايا الشمسية العائمة في سد ياماكورا، محافظة تشيبا، اليابان ، لتوليد الكهرباء وتقليل التبخر (Lehmann, 2019) ; (4, 5, 6) تغطية سطح إحدى البحيرات بالكرات البلاستيكية لقمع وتقليل التبخر السنوي من البحيرة

ونظراً لأن المقترن اعلاه قد يكون عسيراً التتحقق نظراً للكلف المالي المرتفعة عليه، لذا يمكن اللجوء للاقتراح الثاني كطريقة رئيسة أخرى لتقليل التبخر، بأن يتم تقليل المساحة السطحية لبحيرة الشويبة، بإنشاء حاجز مائي في منتصف الهور من جهة شرق دجلة، وحصر المياه بين هذا الحاجز ونهايات الدالات المروحيات ذات الاراضي مرتفعة المنسوب عن سطح البحر. بذلك يكون الخزن المائي أكثراً عمقاً واقل مساحة وبكميات اعلى او مساوية لما هو مخطط له ، ما يؤدي إلى تقليل التبخر إلى أقل ما يمكن.

الخاتمة – Conclusion

إنصبَ إهتمام دراستنا هذه على إمكانية إدارة وتنمية إستثمار الموارد المائية المهدرة شرق محافظة واسط، والمتمثلة بمنخفض هور الشويبة. وقد كانت التطبيقات الجيوماتيكية المتاحة والمتمثلة بمنصة محرك GEE تمثل العمود الفقري الذي إرتكزت عليه الدراسة . لقد أثبتت التحليلات الجغرافية لبيانات المرئيات الفضائية طيلة عقود من الزمن، فضلاً عن المعلومات التي أتاحتها الخرائط القديمة للمنطقة، بأن هور الشويبة يمثل منخفضاً كبيراً يمكن أن يمتليء بالمياه العذبة التي تغذيه بها الكثير من الانهار والوديان الجبلية المنحدرة من المرتفعات الشرقية للعراق وايران. كذلك يمكن أن يتم إستغلال هذه الموارد المائية المهمة بتحويل هذا الماء إلى بحيرة دائمة. وتكون أهمية هذا الموضوع لأنها يأتي في مرحلةٍ خطيرة، لاسيما ونحن نعاني من موجات الجفاف الشديد الناتجة عن التغير المناخي عالمياً، وهو الامر الذي يساهم في تعزيز الامن المائي لجزء كبير من العراق.

أثبتت هذه الدراسة إمكانية الحفاظ على مياه هذا المنخفض وتحويله إلى بحيرة دائمة بإنشاء النواطم والسداد الترابية او غيرها، الامر الذي يمكن ان يوفر للعراق خزيناً مائياً يبلغ اكثراً من مليار m^3 سنوياً. كذلك يمكن ان تتم هذه العملية على مراحلتين او عدة مراحل متمثلة بتحويل المنخفض الرئيس لهور الشويبة إلى بحيرة دائمة، تلحق به بعد ذلك عملية تحويل المنخفض الشمالي الأصغر المعروف بـ هور الشبيحة إلى بحيرة دائمة باقامة نواطم عليها هي الاخرى، ويمكن لهاتين البحيرتين ان تتصلا مستقبلاً، ليعود هذا المسطح المائي إلى عافيته ومساحته التي كان عليها بداية القرن الماضي والقرون التي سبقته لتملاً المياه المنخفض حتى ارتفاع 20 م فوق سطح البحر، الشكل (10).



الشكل (10) شكل وحجم البحيرة المتوقعة بعد إنشاء النواطم

حيث إن : A : تمثل مساحة هور الشويجة التي تظهر حالياً اثناء مواسم الفيضانات؛ B : حجم ومساحة البحيرة الدائمة لهور الشويجة بعد إنشاء النواطم؛ C : حجم ومساحة بحيرة الشويجة بعد إنشاء النواطم على هور الشويجة الكبير ، ونواطم هور الشبيحة كذلك، إقترحت الدراسة أن يتم إعتماد عملية قمع وتقليل التبخر لهور الشويجة وبالتالي بحيرته الدائمة باستخدام الكرات والصفائح البلاستيكية او غيرهاو والتي تساهم بتقليل التبخر بنحو 70 - 80 % من المعدل العام للتبخر السنوي. وبالتالي سيساهم تحقيق هذا المشروع стрاتيجي المهم نقلة نوعية في عمليات حصاد المياه وإدارتها بأفضل الطرق المتاحة، كما سيساهم في تطور الواقع الزراعي والبيئي وحتى السياحي لهذا الجزء من العراق، فضلاً عن الدور الكبير الذي سيلعبه في وقف عمليات التصحر الشديد لمناطق شرق محافظة واسط وتحولها إلى مصادر كبيرة للكثبان الرملية في المنطقة وخارجها.

References:

1. Abbas Hashem Khaled. (2023). Using remote sensing and geographic information systems to detect desertified agricultural lands in Al-Qadisiyah Governorate, Iraq. ALUSTATH JOURNAL FOR HUMAN AND SOCIAL SCIENCES, 62(3), 375-387 [Google Scholar]
2. Al akaam, I. S. (2014). The relationship between runoff and geomorphological variables to the valleys of eastern Iraq. AL-ADAB JOURNAL, (108) [Google Scholar] [IASJ]
3. Al, A. L. T. J. M., & Al-Mahmood, H. K. H. (2024). Recent indicators of hydrological drought in the Shatt al-Arab basin. The Arab Gulf, 52(2). [Google Scholar]
4. Al-Akkam, Ishaq Mahdi Saleh, Geomorphology of the Fan Plains between Mandali and Badra - Eastern Iraq, Master's thesis submitted to the Geography Department Council at the College of Arts - University of Baghdad, Baghdad - Iraq, 2000
5. Al-Dulaimi, Hanan Abdel Karim Imran, Hydrology and Geomorphology of the Valleys Between Kalal Badra and the Jabab River East of Wasit Governorate, Master's Thesis (Unpublished) Submitted to the Geography Department Council - College of Education for Human Sciences - University of Wasit, 2020
6. Al-Gurairy Ahmad, S. Y. (2000). The Geomorphological Characteristics of The Stream of Euphrates River and its Branches of Al-Atshan and Al-Sebil Between Al-Shannafia and Al-Samawa. College of Arts–University of Baghdad, Baghdad, Iraq, 162 [Google Scholar] <http://dx.doi.org/10.13140/RG.2.2.29451.26403>
7. Al-Gurairy, A. S. Y. (2023). Historical geomorphology analysis of the stream of the Euphrates River, its branches Al-Atshan & Al-Subul, from Shannafia to Samawah for the period (1799-1969), and the impact of the Naggarat on the geomorphology of its rivers. Misan Journal of Academic Studies, 22(47) [Google Scholar] [Site] <https://doi.org/10.54633/2333-022-047-001>
8. Al-Gurairy, A. S. Y., & Abd Al kadhim Aljashamy, H. H. (2022). Climate change and its impact on the change of rice production and related industries in Al-Qadisiyah Governorate for the 2022 Agriculture season, using digital processing of Sentinel-2 data. Al-Qadisiyah Journal For Humanities Sciences, 25(4), 510-543 [Google Scholar] <http://dx.doi.org/10.5281/zenodo.7538706>
9. Al-Gurairy, A. S. Y., & Al-Shammary, A. A. S. (2023). Stages of the historical geomorphology evolution of the meander of Al-Shatt Al-Aama and its Ox-Bow Lake south of Al-Azizia-Iraq. for humanities sciences al qadisiya, 26(3) [Google Scholar] [Site] <https://doi.org/10.5281/zenodo.10103303>
- 10- Al-Gurairy, A. S. Y., & Al-Zubaidi, A. H. A. (2023). Climate Change and Its Impact on The Expansion of The Phenomenon of Sand Dunes and Desertification of Agricultural Lands in Iraq for The Period 1984-2022 (Governorates of Al-Qadisiyah, Al-Muthanna, and Dhi Qar). [Google Scholar] <https://doi.10.52865/YJPI8019>
- 11- Al-Janaby, N. A. Y., & Al-Karkhy, A. H. S. (2018). Using the Technique of Geographic Information Systems and Remote Sensing to Estimate Surface Water Runoff of Basins in the Eastern Part of Diyala Province (An Extracted MA Paper). Diyala Journal of Human Research, 1(77) [Google Scholar] [IASJ]

- 12- Al-Shamaa, I., & Ali, B. (2012). hydrological relationship between surface and groundwater in Badra-Jassan Basin. Iraqi Journal of Science, 53(2), 335-340 [\[Google Scholar\]](#) [\[IASJ\]](#)
- 13- Al-Zubaidi, S. A., & Abed, B. S. (2024). Studying and Assessing Surface Water Use of Shuwaija Marsh within Wasit Governorate-Iraq. Journal of Engineering, 30(03), 159-176 [\[Google Scholar\]](#) [\[IASJ\]](#) <https://doi.org/10.31026/j.eng.2024.03.11>
- 14- Al-Zubaidi, Saif Ali Abdul-Rida, Quantity and Evaluation of Surface Water Quality of the Shuwayja Marshes in Wasit Governorate, Master's Thesis (unpublished) submitted to the Department of Water Resources Engineering at the College of Engineering - University of Baghdad, 2023.
- 15- Ann Rajab Ahmad Mahmoud, Analysis of the relationship of hydrological and geomorphological variables of the Wadi Diwanah Basin and their impact on water harvesting, doctoral thesis submitted to the Department of Geography - College of Arts at the University of Baghdad, Baghdad, Iraq, 2017
- 16- Atay, M. A., & Kaplan, G. (2023). Large-Scale Mapping of Inland Waters with Google Earth Engine Using Remote Sensing. Environmental Sciences Proceedings, 25(1), 52 [\[Google Scholar\]](#) <https://doi.org/10.3390/ECWS-7-14171>
- 17- Ayad Abd Ali Salman Al-Shammary. (2015). Theories of the emergence of the Iraqi marshes (geomorphological study). Geographical Research Journal (Discontinued), (21) [\[Google Scholar\]](#) [\[IASJ\]](#)
- 18- Buchhorn, M., Lesiv, M., Tseddbazar, N. E., Herold, M., Bertels, L., & Smets, B. (2020). Copernicus global land cover layers—collection 2. Remote Sensing, 12(6), 1044 [\[Google Scholar\]](#) <https://doi.org/10.3390/rs12061044>
- 19- Cann, K. F., Thomas, D. R., Salmon, R. L., Wyn-Jones, A. P., & Kay, D. (2013). Extreme water-related weather events and waterborne disease. Epidemiology & Infection, 141(4), 671-686 [\[Google Scholar\]](#) <https://doi.org/10.1017/S0950268812001653>
- 20- Dang, T. D., Cochrane, T. A., Arias, M. E., Van, P. D. T., & de Vries, T. T. (2016). Hydrological alterations from water infrastructure development in the Mekong floodplains. Hydrological processes, 30(21) , 3824-3838 [\[Google Scholar\]](#) <https://doi.org/10.1002/hyp.10894>
- 21- Fang, Z., Yue, P., Zhang, M., Xie, J., Wu, D., & Jiang, L. (2023). A service-oriented collaborative approach to disaster decision support by integrating geospatial resources and task chain. International Journal of Applied Earth Observation and Geoinformation, 117, 103217 [\[Google Scholar\]](#) <https://doi.org/10.1016/j.jag.2023.103217>
- 22- Gorelick, N., Hancher, M., Dixon, M., Ilyushchenko, S., Thau, D., & Moore, R. (2017). Google Earth Engine: Planetary-scale geospatial analysis for everyone. Remote sensing of Environment, 202, 18-27 [\[Google Scholar\]](#) <https://doi.org/10.1016/j.rse.2017.06.031>
- 23- Grill, G., Lehner, B., Thieme, M., Geenen, B., Tickner, D., Antonelli, F., ... & Zarfl, C. (2019). Mapping the world's free-flowing rivers. Nature, 569(7755), 215-221 [\[Google Scholar\]](#) <https://doi.org/10.1038/s41586-019-1111-9>

- 24- Hansen, C. H. (2015). Google Earth Engine as a platform for making remote sensing of water resources a reality for monitoring Inland waters. Department of Civil and Environmental Engineering: Suite, UT, USA [\[Google Scholar\]](#)
- 25- Hartzell, T. S. (2016). Evaluating potential for floating solar installations on Arizona water management infrastructure [\[Google Scholar\]](#) [\[University of Arizona\]](#)
- 26- Hussein Joban Oraibi, & Dhia Al-Din Abdul Hussein Awaid Al-Quraishi. (2019). Tourism components and their role in the planning of sustainable development in Badra district using GIS and remote sensing .Journal of Basra researches for Human Sciences , 44(4-B) [\[Google Scholar\]](#) [\[IASJ\]](#)
- 27- Hussein Karim Hamad Al-Saadi, Department of Geography/College of Education, Wasit University. (2014). Hydrology of the Jabab River in Wasit Governorate. LARK JOURNAL FOR PHILOSOPHY ,LINGUISTICS AND SOCIAL SCIENCES ,16(6) [\[Google Scholar\]](#) [\[IASJ\]](#) <https://doi.org/10.31185/lark.Vol1.Iss16.745>
- 28- Karte von Mesopotamien, 5d. Baghdad, Kartographische Abteilung des Stellv. Generalstabes der Armee. Dezember 1917.
- 29- Lehmann, P., Aminzadeh, M., & Or, D. (2019). Evaporation suppression from water bodies using floating covers: Laboratory studies of cover type, wind, and radiation effects. Water Resources Research, 55(6), 4839-4853 [\[Google Scholar\]](#) <https://doi.org/10.1029/2018WR024489>
- 30- Lehner, B., Verdin, K., & Jarvis, A. (2008). New global hydrography derived from spaceborne elevation data. Eos, Transactions American Geophysical Union, 89(10), 93-94 [\[Google Scholar\]](#) <https://doi.org/10.1029/2008EO100001>
- 31- Li, C. L., Shi, K. B., Yan, X. J., & Jiang, C. L. (2021). Experimental analysis of water evaporation inhibition of plain reservoirs in inland arid area with light floating balls and floating plates in Xinjiang, China. Journal of Hydrologic Engineering, 26(2), 04020060 [\[Google Scholar\]](#) [https://doi.org/10.1061/\(ASCE\)HE.1943-5584.0002032](https://doi.org/10.1061/(ASCE)HE.1943-5584.0002032)
- 32- Liu, X., Peng, Y., Lu, Z., Li, W., Yu, J., Ge, D., & Xiang, W. (2023). Feature-fusion segmentation network for landslide detection using high-resolution remote sensing images and digital elevation model data. IEEE Transactions on Geoscience and Remote Sensing, 61, 1-14 [\[Google Scholar\]](#) <https://doi.org/10.1109/TGRS.2022.3233637>
- 33- Mohammed, A. P. D. A. R. (2020). Urban Geomorphology and its Effect on the Distribution of Land Use in Al-Haklaniya City. Alustath Journal for Human and Social Sciences, 59(4) [\[Google Scholar\]](#)
- 34- Nations, U. (2015). Transforming our world: The 2030 agenda for sustainable development. New York: United Nations, Department of Economic and Social Affairs, 1, 41. [\[Google Scholar\]](#) .
- 35- Nguyen, U. N., Pham, L. T., & Dang, T. D. (2019). An automatic water detection approach using Landsat 8 OLI and Google Earth Engine cloud computing to map lakes and reservoirs in New Zealand. Environmental monitoring and assessment, 191, 1-12 [\[Google Scholar\]](#) <https://doi.org/10.1007/s10661-019-7355-x>
- 36- Pekel, J. F., Cottam, A., Gorelick, N., & Belward, A. S. (2016). High-resolution mapping of global surface water and its long-term changes. Nature, 540(7633), 418-422 [\[Google Scholar\]](#) <https://doi.org/10.1038/nature20584>

- 37- Peng, Z. R. (2005). A proposed framework for feature-level geospatial data sharing: a case study for transportation network data. International Journal of Geographical Information Science, 19(4), 459-481 [\[Google Scholar\]](#) <https://doi.org/10.1080/13658810512331319127>
- 38- Sdakhan, A. P. D. A. M. (2023). Human Factors Influencing the Surface Flow of the Euphrates River from the Hindiyah Dam to the Jabbaysh Dam. The Arab Gulf, 51(4). [\[Google Scholar\]](#)
- 39- Talal Mariyoush Dhari and Dhia Abdul Hussein Al Quraishi, (2012). Morphometrics of Kalal Badra and Kalal entrenched in the Shuwaikh depression, a study in applied geomorphology. The Fifth Scientific Conference of the College of Education for Human Sciences, pp. 1495-1513 [\[Site of Journal\]](#) <https://doi.org/10.31185/eduj.Vol2.Iss11.2624>
- 40- Tellman, B., Sullivan, J. A., Kuhn, C., Kettner, A. J., Doyle, C. S., Brakenridge, G. R., ... & Slayback, D. A. (2021). Satellite imaging reveals increased proportion of population exposed to floods. Nature, 596(7870), 80-86 [\[Google Scholar\]](#) <https://doi.org/10.1038/s41586-021-03695-w>
- 41- Xu, K., Yue, S., Chen, Q., Wang, J., Zhang, F., Wang, Y., ... & Lü, G. (2024). Construction of an open knowledge framework for geoscientific models. Transactions in GIS [\[Google Scholar\]](#) <https://doi.org/10.1111/tgis.13134>

المصادر العربية :

- ٤٢- آن رجب أحمد محمود، تحليل علاقة المتغيرات الهيدرولوجية والجيومورفولوجية لحوض وادي ديوانة وأثرها في حصاد المياه، أطروحة دكتوراه مقدمة إلى قسم الجغرافية - كلية الآداب في جامعة بغداد، بغداد، العراق، 2017.
- ٤٣- أيداد عبد علي سلمان الشمري. (2015). نظريات نشوء أهوار العراق، (دراسة جيومورفولوجية). [\[IASJ\]](#) [\[Google Scholar\]](#) .(21), [\(Geographical Research Journal \(Discontinued Tourism](#) .(2019). حسين جوبان عربي، & ضياء الدين عبد الحسين عويد القرشي. [components and their role in the planning of sustainable development in Badra Journal of Basra researches for Human .district using GIS and remote sensing](#) 44(4-B) [\[Google Scholar\]](#) [\[IASJ\]](#) , Sciences
- ٤٥- حسين كريم حمد الساعدي قسم الجغرافية/كلية التربية جامعة واسط. (2014). هيدرولوجية نهر الجباب في محافظة واسط. [LINGUISTICS AND SOCIAL ,LARK JOURNAL FOR PHILOSOPHY](#) 16(6) [\[Google Scholar\]](#) [\[IASJ\]](#) , SCIENCES <https://doi.org/10.31185/lark.Vol1.Iss16.745>

- ٤٦ - الدليمي، حنان عبد الكريم عمران، هيدرولوجية وجيومورفولوجية الوديان ما بين كلال بدرة ونهر الجباب شرقي محافظة واسط، رسالة ماجستير (غير منشورة) مقدمة إلى مجلس قسم الجغرافية - كلية التربية للعلوم الإنسانية - جامعة واسط، 2020
- ٤٧ - الزبيدي، سيف علي عبد الرضا، تقدير كمية وتقدير نوعية المياه السطحية لأهوار الشويبة في محافظة واسط، رسالة ماجستير (غير منشورة) مقدمة إلى قسم هندسة الموارد المائية في كلية الهندسة - جامعة بغداد، 2023.
- ٤٨ - طلال مريوش ضاري وضياء عبد الحسين القرشي، (2012). مورفومترية كلال بدرة وكلال ترسخ في منخفض هور الشويبة ، دراسة في الجيومورفولوجيا التطبيقية. المؤتمر العلمي الخامس لكلية التربية للعلوم الإنسانية، ص: [Site of Journal] 1513 - 1495 <https://doi.org/10.31185/eduj.Vol2.Iss11.2624>
- ٤٩ - عباس هاشم خالد. (٢٠٢٣). استخدام الاستشعار عن بعد ونظم المعلومات الجغرافي في الكشف عن الاراضي الزراعية المتصرحة في محافظة القادسية من العراق ALUSTATH JOURNAL FOR HUMAN AND SOCIAL SCIENCES, 62(3), 375-387 [Google Scholar]
- ٥٠ - العكام، إسحق مهدي صالح، جيومورفولوجية السهول المروية بين مندلي وبدرة - شرق العراق، رسالة ماجستير مقدمة إلى مجلس قسم الجغرافية في كلية الآداب - جامعة بغداد، بغداد - العراق، 2000